

• 论 著 • doi:10.3969/j.issn.1671-8348.2021.06.004

葡萄糖调节蛋白-78 在肝癌组织中的表达及其意义分析^{*}

马 颖¹,马 玲²,马 明^{3△}

(1. 新疆医科大学第一附属医院医学检验中心, 乌鲁木齐 830054; 2. 新疆维吾尔自治区胸科医院药剂科, 乌鲁木齐 830001; 3. 新疆维吾尔自治区人民医院肝胆外科, 乌鲁木齐 830054)

[摘要] 目的 探讨葡萄糖调节蛋白-78(GRP-78)在肝细胞癌(HCC)组织中的表达情况及其对肝癌细胞增殖的影响。方法 统计 83 例肝癌患者的 HCC 组织、癌旁组织及正常肝组织中 GRP-78 的阳性表达率。测定不同肝癌细胞系中 GRP-78 mRNA 的相对表达水平, 将表达水平最高的肝癌细胞系进行扩增培养。将扩增后的细胞分为未转染的空白组、小干扰 RNA(siRNA)-NC 组及 GRP-78-siRNA 组, 分析 3 组细胞的增殖抑制率、凋亡率及磷脂酰肌醇 3 激酶(PI3K)/丝苏氨酸蛋白激酶(AKT)信号通路中相关蛋白的表达水平。结果 3 种组织中 HCC 组织中 GRP-78 的阳性表达率最高($P < 0.05$), 且与 HCC 患者的 TNM 分期呈正相关($P < 0.05$); 在 SMMC-7721 肝癌细胞系中, GRP-78 mRNA 的相对表达水平最高; 在干扰 48 h 及 72 h 时, GRP-78-siRNA 组的细胞抑制率显著高于空白组及 siRNA-NC 组, 差异有统计学意义($P < 0.05$); 而在干扰 48 h 时, GRP-78-siRNA 组的细胞凋亡率高于另外两组, 差异有统计学意义($P < 0.05$); 与空白组、siRNA-NC 组比较, GRP-78-siRNA 组的 E-cadherin 表达升高, vimentin、磷酸化-PI3K(p-PI3K)、磷酸化-AKT(p-AKT)表达降低, 组间差异有统计学意义($P < 0.05$)。结论 GRP-78 可通过 PI3K/AKT 信号通路促进肝癌的发生。

[关键词] 葡萄糖调节蛋白-78; 肝肿瘤; 细胞凋亡; PI3K/AKT 通路

[中图法分类号] R735.7 **[文献标识码]** A **[文章编号]** 1671-8348(2021)06- 917-05

Expression and significance of glucose regulatory protein-78 in hepatocellular carcinoma^{*}

MA Ying¹, MA Ling², MA Ming^{3△}

(1. Medical Laboratory Center, the First Affiliated Hospital of Xinjiang Medical University, Urumqi, Xinjiang 830054, China; 2. Department of Pharmacy, Chest Hospital of Xinjiang Uygur Autonomous Region, Urumqi, Xinjiang 830001, China; 3. Department of Hepatobiliary Surgery, People's Hospital of Xinjiang Uygur Autonomous Region, Urumqi, Xinjiang 830054, China)

[Abstract] **Objective** To investigate the expression of glucose-regulated protein-78 (GRP-78) in hepatocellular carcinoma (HCC) and its effect on the proliferation of liver cancer. **Methods** The positive expression rate of GRP-78 in HCC tissues, adjacent tissues and normal liver tissues of 83 patients with HCC was analyzed. The relative expression of GRP-78 mRNA in different liver cancer cell lines was measured, and the liver cancer cell line with the highest expression level of GRP-78 were amplified and cultured. The amplified cells were divided into the blank group, the siRNA-NC group and the GRP-78-siRNA group, and the proliferation inhibition rate, apoptosis rate and expression level of related proteins in the PI3K/AKT signaling pathway were analyzed in the three groups. **Results** The positive expression rate of GRP-78 in HCC tissues was the highest ($P < 0.05$), and it was positively correlated with TNM stage of HCC patients ($P < 0.05$). The expression of GRP-78 mRNA was the highest in SMMC-7721 cell line. At 48 h and 72 h, the cell inhibition rate of the GRP-78-siRNA group was significantly higher than that of the blank group and the siRNA-NC group ($P < 0.05$). At 48 h, the apoptosis rate of the GRP-78-siRNA group was higher than that of the other two groups ($P < 0.05$). Compared with the blank group and the siRNA-NC group, the expression level of E-cadherin in the GRP-78-siRNA group was increased, while the expression levels of vimentin, p-PI3K and p-AKT were down-

* 基金项目:新疆维吾尔自治区自然科学基金(2018D01C186)。 作者简介:马颖(1983—),主管技师,硕士,主要从事检验医学工作。

△ 通信作者,E-mail:429415875@qq.com。

regulated, the differences were statistically significant ($P < 0.05$). **Conclusion** GRP-78 can promote the development of liver cancer through PI3K/AKT signaling pathway.

[Key words] glucose regulatory protein-78; liver neoplasms; cell apoptosis; PI3K/AKT signaling pathway

在世界范围内,肝癌是癌症第四大死亡原因,而肝细胞癌(hepatocellular carcinoma, HCC)是最常见的类型,也是造成我国癌症相关死亡人数上升快的原因之一^[1-2]。HCC 细胞生长极为活跃,侵袭性强,易侵犯包膜和血管导致局部扩散和血道转移。尽管近年来 FDA 已经批准了一些二线药物,但 HCC 确诊时往往已为晚期,急需开发新的治疗靶点及治疗方案^[3-4]。

葡萄糖调节蛋白-78(glucose regulatory protein-78, GRP-78)属于热休克蛋白 70 家族,在多种恶性肿瘤中异常表达^[5-6],但在 HCC 中的相关研究较少。基于此,本研究旨在通过探讨 GRP-78 在 HCC 组织中的表达及对肝癌细胞增殖的影响,为肝癌的防治提供更多依据。

1 资料与方法

1.1 一般资料

选择 2016 年 1 月至 2019 年 5 月新疆医科大学第一附属医院收治的 83 例 HCC 患者为研究对象。其中男 60 例,女 23 例,平均年龄(56.7 ± 8.3)岁。纳入标准:(1)术后均经病理学确诊为 HCC;(2)于该院首次确诊并进行治疗;(3)临床资料完整并可获得 HCC 组织及癌旁、正常肝组织。排除标准:(1)术前接受了放化疗等其他抗肿瘤治疗;(2)临床资料不完全。同时,收集患者一般临床资料,包括年龄、性别及 TNM 分期等,用于后续统计学分析。本研究临床样本的获取经过本院伦理委员会的批准,所有患者及家属均签署知情同意书。

1.2 取材、细胞和主要试剂

根据《原发性肝癌规范化病理诊断指南(2015 年版)》中的取材法对肿瘤组织进行取材^[7],取材于肿瘤中心区域的标本为 HCC 组织,取材于距离肿瘤 $>0\sim 1$ cm 的肝组织为癌旁组织,取材于距离肿瘤大于 1 cm 的肝组织为正常肝组织。人正常肝上皮细胞 LO2,肝癌细胞株 HepG2、SMMC-7721、Huh-7、MHCC-97H 均由所在实验室传代培养并保存。PCR 引物、SYBR Green 试剂盒购自北京宝日医生物技术(北京)有限公司;GRP-78 抗体(ab108615)、E 钙黏蛋白(E-cadherin)抗体(ab194982)、波形蛋白(vimentin)抗体(ab92547)、磷酸化-磷脂酰肌醇 3 激酶(p-PI3K)抗体(ab32089)、磷酸化-丝苏氨酸蛋白激酶(p-AKT)抗体(ab8805)抗体购于美国 Abcam 公司。

1.3 方法

1.3.1 免疫组织化学检测各组织中 GRP-78 的表达

对 4% 多聚甲醛固定后的组织进行石蜡包埋,并使用切片机制备成 4 μm 切片。依次对切片进行脱蜡、水化处理;随后,使用 10 mmol/L 的枸橼酸缓冲液($\text{pH}=6.0$)在高压加热 30 min 进行抗原修复。静置至室温并用 PBS 洗涤 3 次后,滴加 2% 的 H_2O_2 于室温下孵育 1 h 以封闭内源性过氧化物酶。PBS 洗涤 3 次后,向标本中滴加 100 μL 鼠抗人 GRP-78 单克隆抗体(1:1 000),4 °C 冰箱过夜。次日,PBS 冲洗 3 次后滴加辣根过氧化物酶(HRP)标记的二抗(1:5 000),37 °C 孵育 30 min。最后,使用二氨基联苯胺(DAB)显色,并采用苏木素对细胞核进行复染。在明场显微镜下采集图片,并使用 Image pro plus 对 GRP-78 的表达进行半定量分析。

1.3.2 实时荧光定量 PCR(RT-PCR)

分别提取细胞及患者组织中的总 RNA,将细胞 RNA 反转录成 cDNA,然后扩增成 DNA,所有步骤严格按照逆转录试剂盒和扩增试剂盒说明书操作。GRP-78 引物序列:上游 5'-CAG ATC ACG CCA ATG ATG AAT A-3',下游 5'-GTA AGC TTA TCC GTA TCC TGT CA-3',以 GAPDH 作为内参。根据 PCR 反应体系配制各种试剂,RT-PCR 反应条件如下:95 °C 预变性 10 min;95 °C 变性 30 s,50 °C 退火 30 s,40 个循环;最后 70 °C 延伸 10 min 结束。

1.3.3 细胞培养及转染

将人肝癌细胞株 HepG2、SMMC-7721、Huh-7、MHCC-97H 置于含 10% 胎牛血清及 1% 青霉素+链霉素双抗的培养基中,并于 37 °C、5% CO_2 孵箱中进行培养。待细胞生长至 80% 后进行传代培养。选取 GRP-78 mRNA 相对表达水平最高的肝癌细胞系进行干扰实验。取第三代处于对数生长期的肝癌细胞,将细胞以 $5 \times 10^4/\text{mL}$ 的浓度接种于 24 孔板中。根据实验目的分为以下 3 组:(1)未转染的空白对照组;(2)siRNA-NC 组;(3)GRP-78-siRNA 组。其中,未转染的空白对照组不做处理,siRNA-NC 组取 50×10^{-3} mol 的 siRNA-NC 和 Lipofectin™ 2000 混合后进行转染;siRNA-GRP-78 组取 50×10^{-3} mol 的 siRNA-GRP-78 和 Lipofectin™ 2000 混合后进行转染。转染后培养 6 h,并进行后续实验。

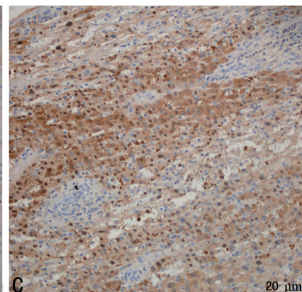
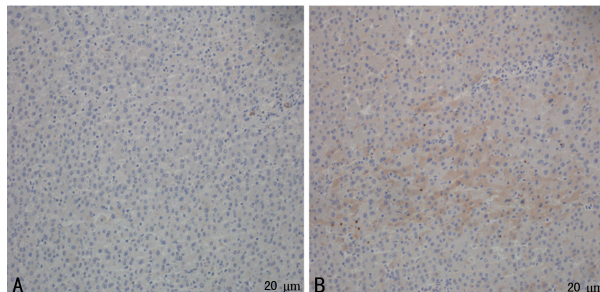
1.3.4 四甲基偶氮唑蓝(MTT)检测细胞增殖

各组细胞培养 24、48、72 h 后,收集各组细胞并调整浓度为 $5 \times 10^5/\text{mL}$ 。根据分组,向每孔中加入 100 μL 细胞悬液,同时每孔加入 20 μL MTT 溶液。培养 4 h 后,每孔加入 150 μL 二甲基亚砜(DMSO),37 °C

孵育 10 min, 检测 570 nm 波长处的吸光度(A)值。计算细胞生长抑制率: 细胞生长抑制率=1-干预组 A 值/对照组 A 值。

1.3.5 Western blot 检测

收集分组细胞, 应用 RIPA 裂解液裂解细胞样品并提取总蛋白, BCA 法测定蛋白浓度。取相同质量的各组样本的蛋白与上样缓冲液混匀, 煮沸变性后进行 12%十二烷基硫酸钠-聚丙烯酰胺凝胶电泳(SDS-PAGE), 依次转膜、封闭后, 加入 E-cadherin、vimentin、p-P13K、p-Akt 一抗以及对应的二抗孵育。最后使用电化学发光(ECL)法显影。通过 Image J 软件分析条带灰度值, 以 GAPDH 为内参, 计算各个蛋白的相对表达水平。



A:正常肝组织;B:癌旁组织;C:HCC组织;D:GRP-78 阳性率统计图;^a: $P<0.01$ 。

图 1 GRP-78 在 HCC 组织、癌旁组织、正常组织中的表达分析(免疫组织化学,400×)

2.2 GRP-78 表达对肝癌临床病理特征的影响

HCC 患者 GRP-78 阳性表达率在不同 TNM 分期中差异有统计学意义($P<0.05$)。在不同性别、年龄段、病理分级中差异无统计学意义($P>0.05$)。见表 1。

表 1 GRP-78 表达对 HCC 临床病理特征的影响[n(%)]

项目	GRP-78 阳性组 (n=59)	GRP-78 阴性组 (n=24)	χ^2	P
年龄(岁)			0.230	0.631
≤55	31(52.54)	14(58.33)		
>55	28(47.46)	10(41.67)		
性别			0.036	0.850
男	43(72.88)	17(70.83)		
女	16(27.12)	7(29.17)		
TNM 分期(2017 AJCC 第八版)			5.528	0.019
I~II	25(42.37)	17(70.83)		
III~IV	34(57.63)	7(29.17)		
病理分级			0.002	0.968
1~2 级	44(74.57)	18(75.00)		
3 级	15(25.43)	6(25.00)		

2.3 GRP-78 mRNA 在不同肝癌细胞系及正常肝细

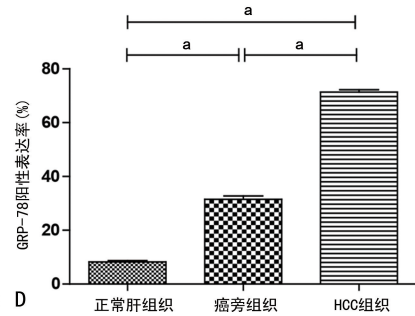
1.4 统计学处理

采用 SPSS20.0 软件进行统计分析。计量资料采用 $\bar{x}\pm s$ 表示, 组间比较采用单因素方差分析, 组间两两比较采用 LSD 检验。以 $P<0.05$ 为差异有统计学意义。

2 结 果

2.1 GRP-78 在 HCC 组织、癌旁组织、正常肝组织的表达

GRP-78 在 HCC 组织、癌旁组织、正常组织中的阳性表达率分别为 71.1%(59/83)、32.5%(27/83)、8.4%(7/83), HCC 组织中 GRP-78 阳性表达率显著高于癌旁组织及正常肝组织($P<0.05$)。见图 1。



胞系中的表达

与 LO2 比较, GRP-78 mRNA 在肝癌细胞系 HepG2、SMMC-7721、Huh-7、MHCC-97H 中的相对表达水平分别为 2.84 ± 0.36 、 6.84 ± 0.98 、 4.84 ± 0.43 、 3.87 ± 0.36 , 其中 SMMC-7721 中 GRP-78 mRNA 的相对表达水平最高, 因此选择 SMMC-7721 细胞进行后续实验, 见图 2。

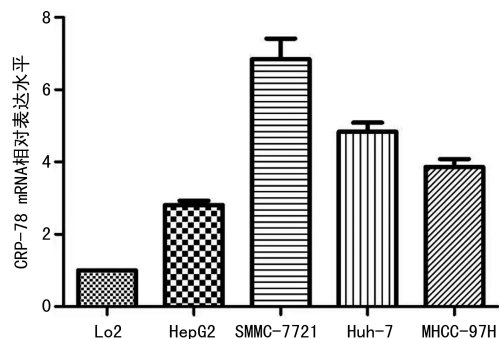


图 2 GRP-78 mRNA 在不同 HCC 细胞系及正常肝细胞系中的表达

2.4 转染 GRP-78 siRNA 后 SMMC-7721 细胞中 GRP-78 的表达

Western blot 检测发现, 空白组与 siRNA-NC 组的 GRP-78 相对表达水平差异无统计学意义($P>0.05$), 而 GRP-78-siRNA 组细胞中 GRP-78 相对表达水平较以上两组显著下降($P<0.05$), 见图 3。

2.5 各组细胞增殖活性比较

MTT 检测显示,48 h 时,空白组、siRNA-NC 组、GRP-78-siRNA 组细胞增殖抑制率分别为 0.2.68%、16.79%,72 h 时分别为 0.3.02%、43.60%,GRP-78-siRNA 组细胞的细胞增殖抑制率各时点显著高于其他两组($P<0.05$)。

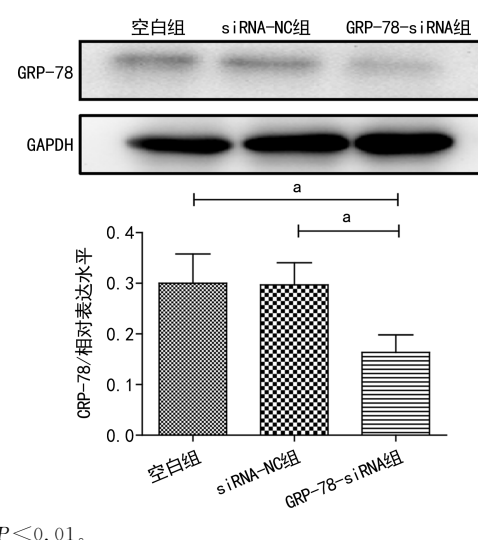
2.6 各组细胞凋亡率比较

48 h 时,空白组、siRNA-NC 组、GRP-78-siRNA 组的细胞凋亡率分别为(4.6±1.3)%、(13.2±1.5)%、(44.9±4.9)%,GRP-78-siRNA 组的细胞凋亡率显著高于空白组及 siRNA-NC 组($P<0.05$, $P<0.01$),见图 4。

2.7 各组细胞中 PI3K/AKT 信号通路相关蛋白表达比较

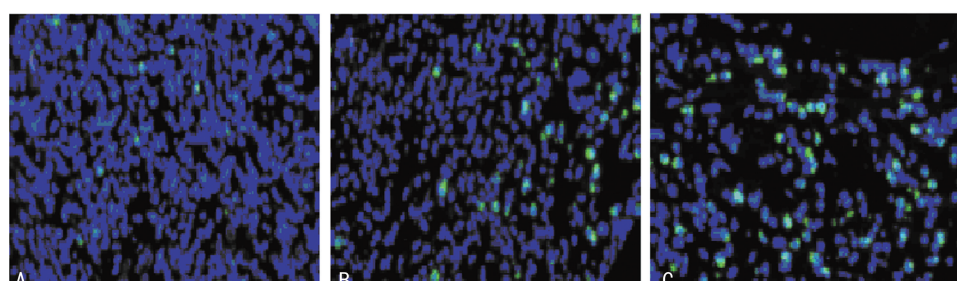
与空白组、siRNA-NC 组比较,GRP-78-siRNA 组的 E-cadherin 相对表达水平明显升高,vimentin、p-P13K、p-Akt 相对表达水平明显降低,差异均有统计

学意义($P<0.01$),见图 5。



^a: $P<0.01$ 。

图 3 各组细胞 GRP-78 的相对表达水平



A:空白组;B:siRNA-NC 组;C:GRP-78-siRNA 组;D:细胞凋亡率统计分析;^a $P<0.05$;^b $P<0.01$ 。

图 4 各组细胞凋亡率比较

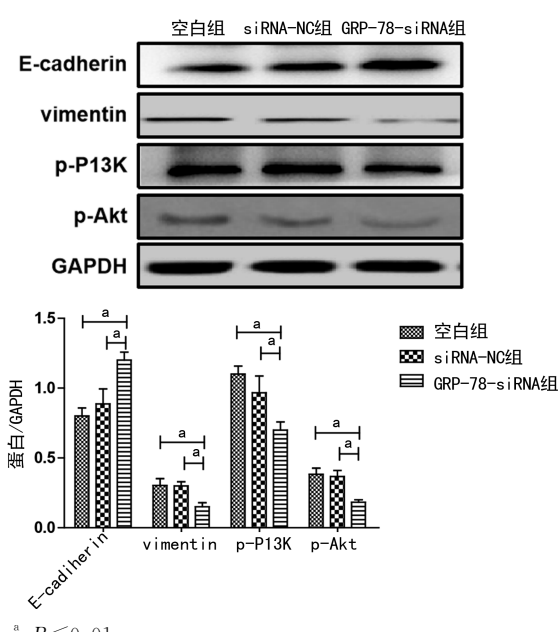


图 5 3 组细胞中 PI3K/AKT 信号通路相关蛋白表达情况

3 讨 论

目前,肝癌的治疗方法包括外科治疗、内科治疗、

放疗等。外科治疗方式包括手术切除及肝脏移植,目前认为可取得潜在的治愈机会,但要遵循严格的适应证^[8-9]。内科治疗包括化疗、免疫治疗、靶向治疗等。靶向治疗是整个肿瘤领域中的一个新的研究热点,也是最有治疗潜力的研究方向,而高效靶点的选择则是决定靶向治疗疗效的关键之一^[10-11]。GRP-78 定位于内质网,在维持细胞功能正常运转方面发挥着重要作用^[12]。在恶性肿瘤发生时,新生血管速度及蛋白合成速度难以满足肿瘤细胞对营养物质的需求,会导致细胞内部内质网应激,从而诱发 GRP-78 和其他伴侣蛋白表达上调^[13]。

本研究从临床样本及细胞两个方面对 GRP-78 的表达进行研究。通过免疫组织化学检测发现,GRP-78 在 HCC 组织中阳性表达率显著高于癌旁组织及正常肝组织,表明 GRP-78 可能参与了 HCC 的发生发展。同时,GRP-78 表达与 HCC 患者的 TNM 分期相关,TNM 分期越高,患者的 GRP-78 阳性表达率越高。另外,在多种肝癌细胞系中,GRP-78 mRNA 的相对表达水平均显著高于正常肝细胞 LO2,表明 GRP-78 与肝癌的发生发展密切相关。

细胞凋亡受一系列基因的调控^[14]。本研究进一步探讨了 GPR-78 促进 HCC 生长和转移的分子机制。PI3K/AKT 信号通路参与了许多细胞基本进程的调控,包括细胞生长、增殖等,其信号通路的异常活化会引起癌症与糖尿病等多种疾病^[15-16]。同时,E-cadherin 异常与 PI3K/AKT 信号转导相关。本研究发现,与空白组、siRNA-NC 组比较,GRP-78-siRNA 细胞的 E-cadherin 表达明显升高,这表明 HCC 组织中的 GPR-78 可通过抑制 E-cadherin 促进 HCC 细胞发生转移。另外,在 PI3K/AKT 信号通路中,Akt 一旦被激活,可通过磷酸化底物而发挥抑制细胞凋亡、促进增殖等作用,活化后的 Akt 也可通过磷酸化 vimentin,参与细胞迁移和侵袭。在本研究中,使用 siRNA 技术沉默 GPR-78 的表达可以同时下调 PI3K 及 AKT 的磷酸化水平,并抑制 vimentin 的表达,这间接证明 HCC 组织中 GPR-78 的高水平可以持续活化 PI3K/AKT 信号通路,进而促进 HCC 细胞增殖。

综上所述,本研究发现 GPR-78 在 HCC 患者中的阳性表达率明显较高。下调 GPR-78 表达水平可通过降低 PI3K/AKT 信号通路的活性实现抑制 HCC 细胞的增殖。本研究同样也存在不足,本课题的实验结果仅能证明 GPR-78 与 PI3K/AKT 的持续活化相关,而 GPR-78 表达异常后作用的下游分子尚不清楚,需要后续进行深入研究。

参考文献

- [1] SERHAL R, SALIBA N, HILAL G, et al. Effect of adipose-derived mesenchymal stem cells on hepatocellular carcinoma: In vitro inhibition of carcinogenesis[J]. World J Gastroenterol, 2019, 25(5):567-583.
- [2] HUANG J, QIU M, WAN L, et al. TGF-β1 Promotes hepatocellular carcinoma invasion and metastasis via ERK pathway-mediated FGFR4 expression[J]. Cell Physiol Biochem, 2018, 45(4):1690-1699.
- [3] PERSONENI N, RIMASSA L, PRESSIANI T, et al. Cabozantinib for the treatment of hepatocellular carcinoma[J]. Expert Rev Anticancer Ther, 2019, 19(10):847-855.
- [4] NI Y, YE X. Apatinib for hepatocellular carcinoma[J]. J Cancer Res Ther, 2019, 15(4):741-742.
- [5] SAMSON A A S, PARK S, KIM S Y, et al. Liposomal co-delivery-based quantitative evaluation of chemosensitivity enhancement in breast cancer stem cells by knockdown of GPR78/CLU[J]. J Liposome Res, 2019, 29(1):44-52.
- [6] LUO C, QIU J. miR-181a inhibits cervical cancer development via downregulating GPR78[J]. Oncol Res, 2017, 25(8):1341-1348.
- [7] 中国抗癌协会肝癌专业委员会,中华医学会肝病学分会肝癌学组,中国抗癌协会病理专业委员会,等.原发性肝癌规范化病理诊断指南(2015年版)[J].中华肝胆外科杂志,2015,21(3):145-151.
- [8] WANG C, YANG L, LIANG Z, et al. Long-term survival and prognostic factors of pulmonary metastectomy in liver cancer: a systematic review and meta-analysis[J]. World J Surg, 2018, 42(7):2153-2163.
- [9] CAI M, SUN X, WANG W, et al. Disruption of peroxisome function leads to metabolic stress, mTOR inhibition, and lethality in liver cancer cells[J]. Cancer Letters, 2018, 225(4):322-330.
- [10] ESO Y, MARUSAWA H. Novel approaches for molecular targeted therapy against hepatocellular carcinoma[J]. Hepatology Research, 2018, 48(8):597-607.
- [11] DONG R, HU D, YANG Y, et al. EETs reduces LPS-induced hyperpermeability by targeting GPR78 mediated Src activation and subsequent Rho/ROCK signaling pathway[J]. Oncotarget, 2017, 8(31):50958-50971.
- [12] ZHUO S M, LI S C, LIN Y Q, et al. The effects of anti-Fas ribozyme on T lymphocyte apoptosis in mice model with chronic obstructive pulmonary disease[J]. Iran J Basic Med Sci, 2017, 20(10):1102-1108.
- [13] ZHANG B, ZHOU P, LI X, et al. Bitterness in sugar: O-GlcNAcylation aggravates pre-B acute lymphocytic leukemia through glycolysis via the PI3K/AKT/c-Myc pathway [J]. Am J Cancer Res, 2017, 7(6):1337-1349.
- [14] ZHOU M F, FENG Z P, OU Y C, et al. Endoplasmic reticulum stress induces apoptosis of arginine vasopressin neurons in central diabetes insipidus via PI3K/AKT pathway [J]. CNS Neurosci Ther, 2019, 25(5):562-574.
- [15] CHEN S H, LIU X N, PENG Y. MicroRNA-351 eases insulin resistance and liver gluconeogenesis via the PI3K/AKT pathway by inhibiting FLOT2 in mice of gestational diabetes mellitus[J]. J Cell Mol Med, 2019, 23(9):5895-5906.